

## ОБ ОДНОЙ ЗАДАЧЕ ЭЛЕКТРОСТАТИКИ

И.Н. Жукова, В.Б. Тлячев

Адыгейский государственный университет, Майкоп

Исследуется поле системы неподвижных точечных зарядов с указанием возможных неточностей, имеющих место при анализе таких полей и при их наглядном описании. Решается задача построения силовых линий электростатического поля. Приводятся алгоритмы для численного моделирования.

Основной задачей электростатики является расчет поля заданного распределения заряда, то есть нахождение в любой точке поля напряженности  $\vec{E}$  и потенциала  $\varphi$ , связанных между собой соотношением

$$\vec{E} = -\text{grad}\varphi. \quad (1)$$

Рассмотрим поле, созданное системой неподвижных точечных зарядов. Напряженность  $\vec{E}$  и потенциал  $\varphi$  результирующего поля находятся по принципу суперпозиции суммированием выражений  $\vec{E}_i$  и  $\varphi_i$  электростатического поля каждого заряда из данного распределения точечных зарядов:

$$\vec{E} = k \sum_{i=1}^N \frac{(\vec{r}_0 - \vec{r}_i)}{|\vec{r}_0 - \vec{r}_i|^3} \cdot q_i, \quad \varphi = k \sum_{i=1}^N \frac{q_i}{|\vec{r}_0 - \vec{r}_i|}, \quad (2)$$

где  $\vec{r}_0$  и  $\vec{r}_i$  - радиус-векторы точки наблюдения (точки, в которой определяются  $\vec{E}$  и  $\varphi$ ) и точки расположения заряда  $q_i$  соответственно;  $k=9 \cdot 10^9$  ( $\text{Н м}^2 \text{ Кл}^{-2}$ ) постоянная величина,  $N$  - число зарядов. Сформулируем задачу [1, с.144].

**Задача.** Два равных точечных заряда  $q_1 = q_2 = q$  находятся в точках с координатами  $(0, 0, -a)$  и  $(0, 0, +a)$  (рис. 1). Необходимо построить графики зависимостей  $E_z(z)$  и  $\varphi(z)$  для точек оси  $z$  ( $x=0$ ) и  $E_x(x)$ ,  $\varphi(x)$  для точек  $x$  ( $z=0$ ).

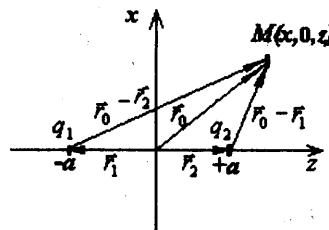


Рис. 1

**Решение.** Расположим оси координат согласно рисунку 1. Выберем в плоскости  $xoz$  произвольную точку  $M(x, 0, z)$  и найдем в ней потенциал результирующего поля зарядов  $q_1$  и  $q_2$  по принципу суперпозиции, применяя соотношение (2):

$$\varphi = kq \left( \frac{1}{[(z+a)^2 + x^2]^{1/2}} + \frac{1}{[(z-a)^2 + x^2]^{1/2}} \right). \quad (3)$$

Проекции вектора напряженности на оси координат определим с помощью соотношения (1):

$$E_z = -\text{grad}_z \varphi = -\frac{\partial \varphi}{\partial z}; \quad E_x = -\text{grad}_x \varphi = -\frac{\partial \varphi}{\partial x}, \quad \text{то есть}$$

$$E_z = kq \left( \frac{(z+a)}{[(z+a)^2 + x^2]^{3/2}} + \frac{(z-a)}{[(z-a)^2 + x^2]^{3/2}} \right),$$

$$E_x = kqx \left( \frac{1}{[(z+a)^2 + x^2]^{3/2}} + \frac{1}{[(z-a)^2 + x^2]^{3/2}} \right). \quad (4)$$

Выражения (3) и (4) задают значения потенциала  $\varphi$  и напряженности  $\vec{E}$  в любой точке плоскости  $xOz$ . На рис.2 эта зависимость изображена графически.

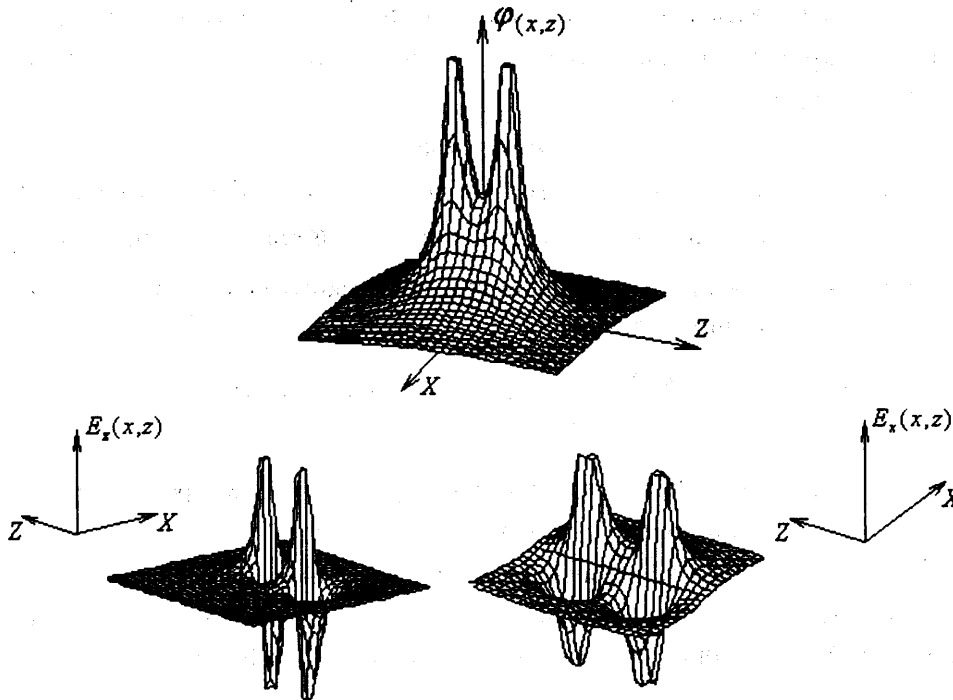


Рис. 2

В точках оси  $z$  ( $x = 0$ ) выражения (3) и (4) имеют вид:

$$E_z(z) = kq \left( \frac{z+a}{|z+a|^3} + \frac{z-a}{|z-a|^3} \right), \quad E_x = 0,$$

$$\varphi(z) = kq \left( \frac{1}{|z+a|} + \frac{1}{|z-a|} \right). \quad (5)$$

Графики  $E_z(z)$  и  $\varphi(z)$  показаны на рисунке 3.

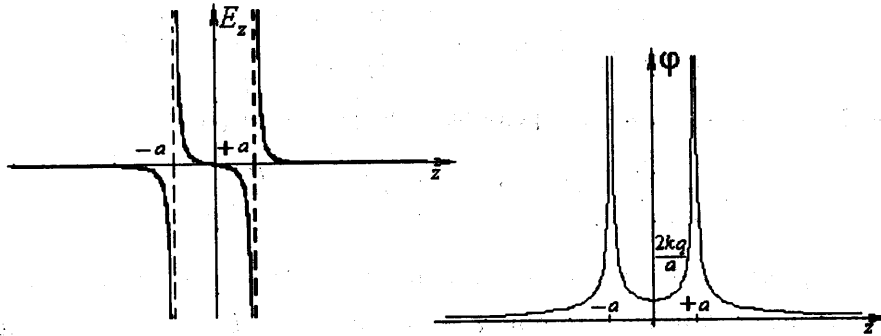


Рис. 3.

Из формул (5) видно, что  $\varphi > 0$  при любом  $z$ . При  $z \rightarrow -a$  и  $z \rightarrow a$  потенциал  $\varphi \rightarrow \infty$ . Очевидно, что в области  $-a < z < a$  потенциал имеет минимум. Исследуя функцию  $\varphi(z)$  на экстремум, получаем, что минимальное значение приходится на  $z = 0$ , при этом  $\varphi = 2kq/a$ . В точке  $z = 0$  функция  $E_z$  равна нулю (в силу (1)).

В точках оси  $x(z=0)$  выражения (3) и (4) принимают вид:

$$\varphi(x) = kq \cdot \frac{2}{(x^2 + a^2)^{1/2}}, \quad E_x(x) = kqx \cdot \frac{2}{(x^2 + a^2)^{3/2}}, \quad E_z = 0. \quad (6)$$

Заметим, что при  $x = 0$ ,  $E_x = 0$ , а при  $x \rightarrow \infty$ ,  $E_x \rightarrow 0$ . Следовательно, существует точка  $x_0$ , в которой напряженность  $E_x$  принимает максимальное значение. Найдем  $x_0$ , исследуя функцию  $E_x(x)$  на экстремум:

$$\frac{dE_x}{dx} = 0, \Rightarrow x_0 = \pm \frac{a}{\sqrt{2}}.$$

В точках, где функция  $E_x$  равна нулю, функция  $\varphi(x)$  максимальна (в соответствии с (1)). В точке, где функция  $E_x$  имеет экстремум, график функции  $\varphi(x)$  имеет перегиб. Графики  $E_x(x)$  и  $\varphi(x)$  показаны на рис. 4.

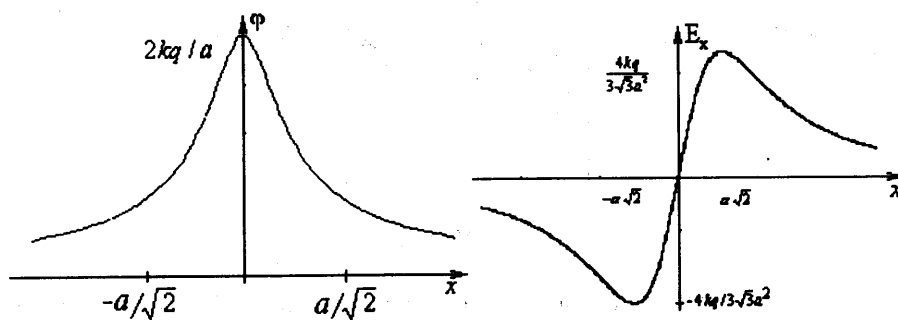


Рис. 4.

Рассмотрим случай, когда поле создано противоположными по знаку и неравными по величине зарядами. Пусть, например  $q_1 = -3q$ ,  $q_2 = q$ . Выражения для потенциала и проекций напряженности результирующего поля в точках оси  $z$  ( $x = 0$ ) будут иметь вид (ср. с (5)):

$$\varphi = kq \left( -\frac{3}{|z+a|} + \frac{1}{|z-a|} \right), \quad E_z = kq \left( -\frac{3(z+a)}{|z+a|^3} + \frac{(z-a)}{|z-a|^3} \right), \quad E_x = 0 \quad (7)$$

В области  $z > a$  выражения (7) перепишем следующим образом:

$$\varphi = 2kq \frac{(2a-z)}{(z^2-a^2)}, \quad E_z = -2kq \frac{(z^2-4az+a^2)}{(z^2-a^2)^2}. \quad (8)$$

Из анализа выражений (8) следует, что в точке  $z_0 = 2a + a\sqrt{3}$  проекция напряженности  $E_z$  равна нулю. Замечая, что при  $z \rightarrow \infty$  проекция  $E_z \rightarrow 0$ , делаем вывод, что в области  $z_0 < z < +\infty$  функция  $E_z(z)$  в какой-то точке  $z_m$  имеет экстремум.

(Координата точки  $z_m$  является решением кубического уравнения

$(z^3 - 6az^2 + 3a^2z - 2a^3 = 0)$ ,  $z_m = [2 + \sqrt[3]{3} + \sqrt[3]{9}]a$ ). В этой точке  $z_m$  график  $\varphi(z)$  имеет перегиб. Примерные графики  $E_z(z)$  и  $\varphi(z)$  приведены на рис. 5.

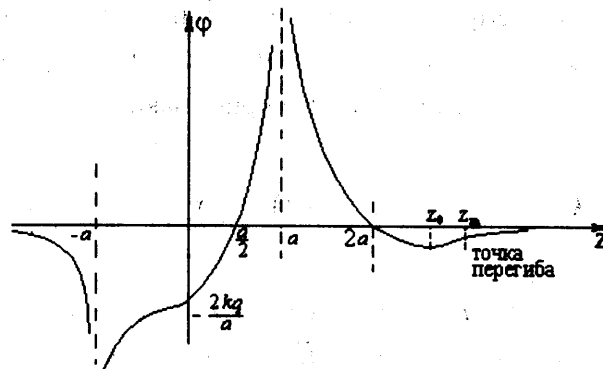


Рис. 5а

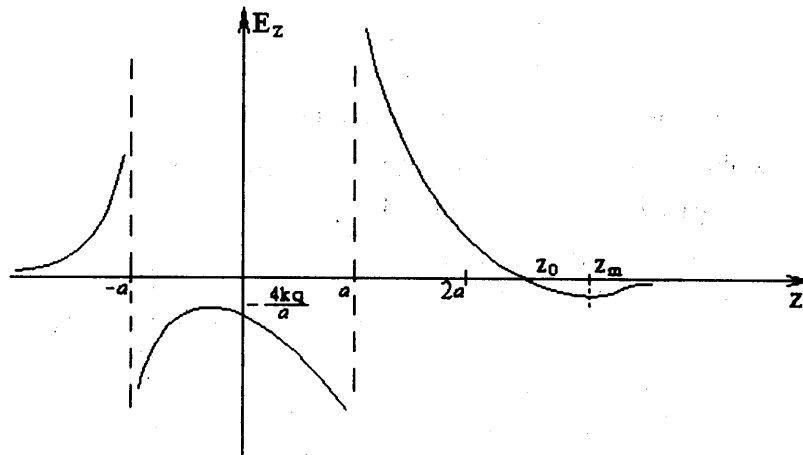


Рис. 5б

Эта задача рассматривается в известном сборнике задач [2, N16.11], однако там график  $E_z(z)$  в области  $z > a$  изображен для зарядов  $q_1 = -3q$ ,  $q_2 = q$  неверно. В пособии [3] приводятся обратные задачи рассмотренной нами (задачи 3.3 и 3.20). Требуется найти расположение зарядов по заданным графикам зависимости потенциала  $\varphi(z)$  и проекции напряженности  $E_z(z)$  от координаты  $z$ .

В связи с исследованием поля системы неподвижных точечных зарядов рассмотрим вопрос о наглядном описании полей. Для этого используются, как известно, эквипотен-

циальные поверхности ( $\varphi = const$ ) и силовые линии, а в сечении поля какой-либо плоскостью характер поведения скалярной функции  $\varphi$  описывается эквипотенциальными линиями. Качественная картина силовых линий поля двух одинаковых по знаку и одинаковых по величине зарядов приводится в учебниках по физике и хорошо известна. Однако, в области точки, лежащей посередине отрезка, соединяющего заряды (пусть это будет точка  $O$ ), эта картина силовых линий изображается крайне редко [4,5,7], что связано, очевидно, с нетривиальным поведением силовых линий в точке  $O$  (Рис. 6).

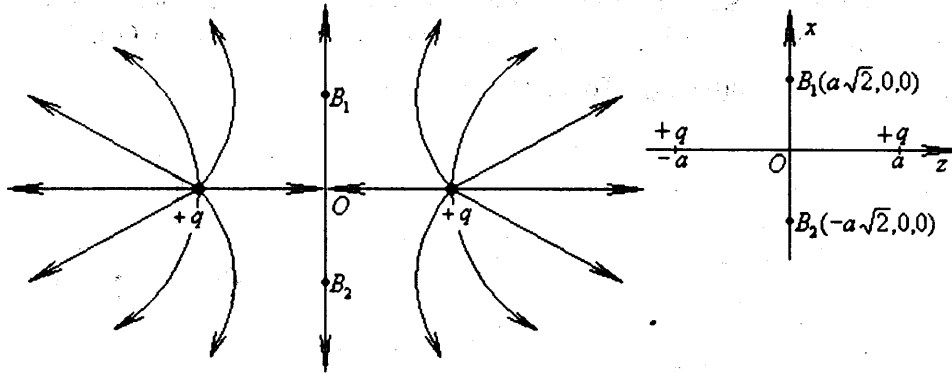


Рис. 6

Как видно из рисунка, к точке  $O$  подходят четыре силовых линии - две силовые линии в этой точке заканчиваются, две другие - начинаются. Коган Б.Ю. утверждает [4, задача 40], что точка  $O$  является точкой пересечения силовых линий и именно поэтому напряженность в этой точке не может быть отлична от нуля. В теории поля точки, аналогичные точке  $O$ , называются точками ветвления [5, стр. 72] и характеризуются тем, что напряженность поля в них равна нулю, а эквипотенциальная поверхность в такой точке пересекает саму себя (рис.7).

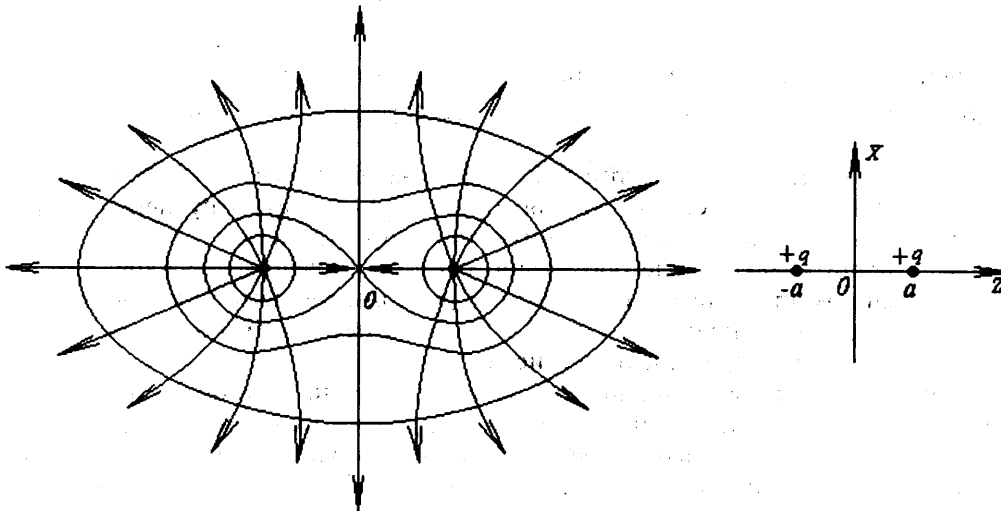


Рис. 7

Эквипотенциальную линию, проходящую через точку ветвления, называют лемниска-той. Поверхность, получаемая при ее вращении вокруг оси  $Oz$  будет эквипотенциальной, пересекающей саму себя в точке  $O$ . (Рис.7)

В известном сборнике задач по электродинамике [12] точка поля, в которой напряженность равна нулю, называется точкой равновесия (нейтральной точкой), так как пробный заряд, помещенный в эту точку, будет находиться в состоянии неустойчивого

равновесия. (Неустойчивость равновесия системы неподвижных электрических зарядов доказывается, как известно, теоремой Ирншоу [13, 14]).

Густота линий напряженности характеризует величину напряженности поля. Сгущение силовых линий вблизи точек  $B_1$  и  $B_2$  (рис. 6) свидетельствует о существовании здесь максимального значения напряженности вдоль оси  $x$ , что согласуется с выводами, сделанными ранее (рис.4).

Картина силовых линий поля двух неравных по величине разноименных зарядов часто приводится в учебных пособиях [2,6,8,9], но в области точки ветвления она либо вообще не изображается, либо изображается неверно. Качественная картина силовых линий поля, образованного зарядами  $q_1 = -3q$ ,  $q_2 = q$ , приведена на рис. 8. (Точки  $O$  и  $B$  имеют координаты  $O(0,0,2a+a\sqrt{3})$ ,  $B(0,0,z_m)$ . Точка  $O$  – точка ветвления)

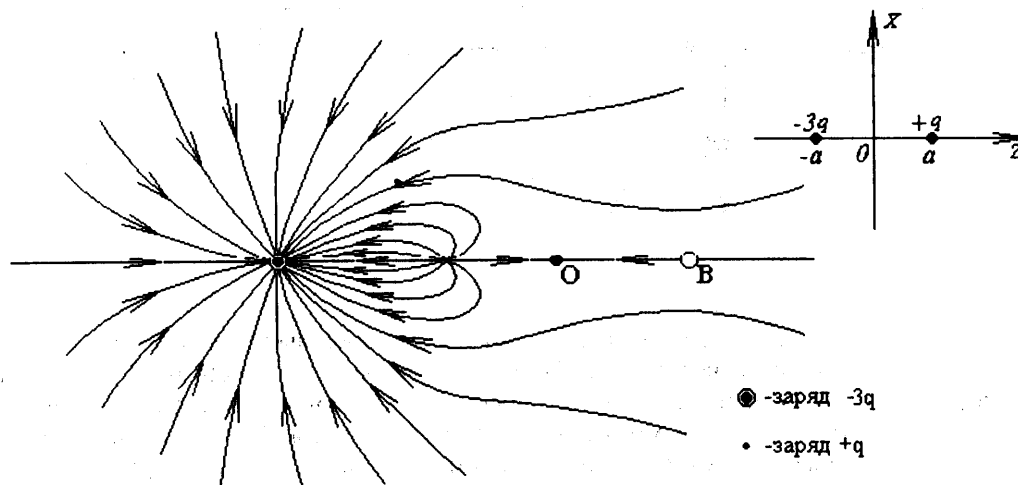


Рис. 8

Искривление и сгущение линий в области точки  $B$  (рис.8) свидетельствует о наличии максимума напряженности вдоль оси  $z$ , что согласуется с выводами, сделанными ранее (рис.5).

Необходимо заметить, что в курсе общей физики вводится определение силовой линии, но не дается алгоритм ее построения. Поэтому вызывает затруднение вопрос о том, как провести силовую линию через заданную точку пространства?

Если электростатическое поле образовано системой точечных зарядов, картину силовых линий (или эквипотенциальных линий) результирующего поля можно построить графически по способу Максвелла [10, 11]. Сначала необходимо вычертить картину силовых линий каждого заряда отдельно (рис. 9).

Получается сетка четырёхугольников, в которых одна диагональ пропорциональна геометрической сумме напряжённостей полей, а другая - их разности. Соединяя соответствующие вершины углов четырёхугольников, получаем картину результирующего поля.

Методом Максвелла неудобно пользоваться в том случае, если требуется провести силовую линию через заданную точку пространства. В этом случае лучше найти уравнения силовых линий системы точечных зарядов. Решим такую задачу для поля двух точечных зарядов [12, задача 110].

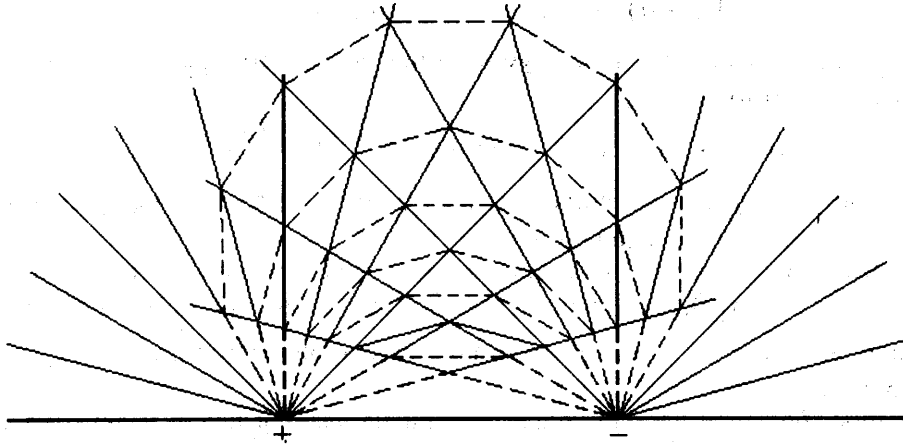


Рис. 9

**Задача.** Найти уравнение силовых линий системы двух точечных зарядов: заряда  $+q$ , находящегося в точке с координатами  $(0, 0, a)$  и заряда  $-q$ , находящегося в точке с координатами  $(0, 0, -a)$ . Начертить силовые линии.

**Решение.** Так как элемент силовой линии  $d\vec{s}(dx, dy, dz)$  параллелен напряженности поля  $\vec{E}$  (в данной точке поля), то уравнение силовых линий будет иметь вид: [13]

$$\frac{dx}{E_x} = \frac{dy}{E_y} = \frac{dz}{E_z};$$

Эти уравнения эквивалентны системе двух обыкновенных дифференциальных уравнений:

$$\begin{cases} \frac{dx}{dz} = \frac{E_x}{E_z}, \\ \frac{dy}{dz} = \frac{E_y}{E_z}. \end{cases} \quad (9)$$

Будем строить картину силовых линий в плоскости  $xOz$ . Вектор напряженности результирующего поля имеет, согласно (4) проекции

$$E_z = kq \left( \pm \frac{(z+a)}{[(z+a)^2 + x^2]^{3/2}} + \frac{(z-a)}{[(z-a)^2 + x^2]^{3/2}} \right),$$

$$E_x = kqx \left( \pm \frac{1}{[(z+a)^2 + x^2]^{3/2}} + \frac{1}{[(z-a)^2 + x^2]^{3/2}} \right),$$

где знаки "+" и "-" соответствуют случаям, когда в точке  $(0, 0, -a)$  находятся заряды  $+q$  и  $-q$  соответственно. Подставляя  $E_z$  и  $E_x$  в (9) и переходя к новым переменным

$U$  и  $V$  путем замены  $(U = \frac{z+a}{x}, V = \frac{z-a}{x})$ , получаем дифференциальное уравнение

$$\mp \frac{dU}{(U^2 + 1)^{3/2}} = \frac{dV}{(V^2 + 1)^{3/2}}, \text{ где "-" и "+" соответствуют положению в точке } (0, 0, -a)$$

зарядов  $+q$  и  $-q$  соответственно. После интегрирования получаем уравнение силовых линий:

$$\mp(z+a)[(z+a)^2+x^2]^{-1/2} - (z-a)[(z-a)^2+x^2]^{-1/2} = C_0,$$

где  $C_0$  - постоянная величина. После умножения последнего уравнения на  $(\mp 1)$ , уравнение силовых линий имеет вид:

$$(z+a)[(z+a)^2+x^2]^{-1/2} \pm (z-a)[(z-a)^2+x^2]^{-1/2} = C. \quad (10)$$

Знак "+" соответствует положению в точке  $(0, 0, -a)$  заряда  $+q$ . Задавая значения  $C$ , можно построить картину силовых линий.

Если необходимо провести силовую линию через заданную точку пространства (например, точку  $M(x_1, 0, z_1)$ ), сначала нужно из уравнения (10) найти постоянную  $C_1(x_1, z_1)$  для заданных  $x_1$  и  $z_1$ , а затем для найденной постоянной  $C_1(x_1, z_1)$  построить силовую линию.

К сожалению, большей частью, аналитически не удается найти уравнения силовой и эквипотенциальной линий. Тогда применяют численное моделирование. Для этого либо используют интегрированные компьютерные системы типа MathCAD, MathLab, Mathematica, в которых применяются встроенные функции для построения векторных и скалярных полей (например PlotVectorField в Mathematica), или программируют на одном из алгоритмических языков. При этом на дисплее компьютера можно построить весьма точную картину силовых линий электрического поля произвольного числа зарядов [15-19]. Опишем основные алгоритмы построения силовых линий.

**АЛГОРИТМ I.** (Основан на пропорциональности некоторого вектора  $\Delta \vec{s}$  вектору  $\vec{E}$  [15]).

1. Задаем величины зарядов  $q_i$ , их координаты в ПДСК и координаты начальной точки  $(x_0, y_0)$ , от которой начинается построение силовой линии.\*

2. Вычисляем компоненты  $E_x$  и  $E_y$  вектора  $\vec{E}$  в точке  $(x_0, y_0)$  по формуле (2).

3. Проводим из точки  $(x_0, y_0)$  в новую точку  $(x_1, y_1)$  небольшой отрезок длины  $\Delta s$  в направлении вектора  $\vec{E}$ . Координаты точки  $(x_1, y_1)$  вычисляем по формулам:

$$x_1 = x_0 + \Delta s \cdot \frac{E_x}{|\vec{E}|}, \quad y_1 = y_0 + \Delta s \cdot \frac{E_y}{|\vec{E}|}. \quad (\text{Длину отрезка } \Delta s \text{ выбираем самостоятельно}).$$

4. Если координаты  $(x_1, y_1)$  совпадают с координатами одного из зарядов или расстояния до других зарядов достаточно велики (сравниваем с какой-либо задаваемой величиной, например  $\Delta s$ ), процесс вычисления прекращаем, иначе берем новое состояние, как старое (т. е.  $x_0 = x_1, y_0 = y_1$ ) и возвращаемся к пункту 2.\*

Алгоритм I имеет недостатки: необходимо задавать самостоятельно  $\Delta s$  (произвол в выборе  $\Delta s$  может приводить к неправильной картине); начальная точка  $(x_0, y_0)$  также выбирается произвольно. Причем, чтобы получить правильную плотность силовых линий, надо начинать построение около точек, где распределение силовых линий очевидно.

**АЛГОРИТМ II.** [16] (Основан на численном решении дифференциального уравнения (9)  $dz/dx = E_z/E_x = f(x, z)$ .)

1. Задаём абсциссу  $x_0$  начальной точки и угол выхода силовой линии  $\alpha_0$ . (Значение этого угла может быть любым.)

\* Для обеспечения правильной плотности линий необходимо самостоятельно выбирать каждую точку от которой начинается рисование силовой линии. Число силовых линий, исходящих из положительного заряда выбирается пропорциональным величине заряда.



2. Вычисляем ординату  $y_0$  по формуле  $y_0 = x_0 \operatorname{tg} \alpha_0$ .

3. Решаем дифференциальное уравнение (9) одним из известных численных методов и находим множество точек  $(x_1, y_1), (x_2, y_2), \dots, (x_n, y_n)$ . (Простейший - метод Эйлера:  $x_{n+1} = x_n + \Delta x$ ,  $y_{n+1} = y_n + f(x_n, y_n) \cdot \Delta y$ ; ( $x_0 = \Delta x$ )).

4. Изображаем точки  $\{(x_i, y_i)\}$ . Это множество точек и даёт одну из силовых линий. Для построения следующей силовой линии задаём новый угол  $\alpha_0$  и всё повторяем с шага 1.

**АЛГОРИТМ III.** [15] (Основан на том факте, что в любой своей точке силовая линия перпендикулярна эквипотенциальной, поэтому достаточно определить эквипотенциальную линию.)

Алгоритм полностью повторяет АЛГОРИТМ I, только на шаге 3 следует вычислять значения  $x_1, y_1$  по формулам  $x_1 = x_0 - \Delta s \cdot \frac{E_y}{|\vec{E}|}$ ,  $y_1 = y_0 + \Delta s \cdot \frac{E_x}{|\vec{E}|}$ .

**АЛГОРИТМ IV.** [16] (Сводится к вычислению потенциала в определенных точках, являющихся скалярной суммой потенциалов, создаваемых отдельными зарядами, что упрощает вычисления. Напряжённость поля находится по формуле  $\vec{E} = -\vec{i} \frac{\partial \varphi}{\partial x} - \vec{j} \frac{\partial \varphi}{\partial y}$ .)

1. Задаём координаты зарядов  $q_i$ ,  $(x_i, y_i)$  ( $i = 1, \dots, n$ ),  $n$  - число зарядов; начальную точку  $(x_0, y_0)$ ; шаги  $\Delta x, \Delta y$ .

2. Вычисляем потенциал

$$\varphi = \sum_{i=1}^n \varphi_i, \text{ где } \varphi_i = \frac{q_i}{4\pi\epsilon_0 r_i}; r_i = \sqrt{(x_i - x_0)^2 + (y_i - y_0)^2}.$$

3. Вычисляем

$$E_x = \frac{\varphi(x_0 + \Delta x, y_0) - \varphi(x_0, y_0)}{\Delta x},$$

$$E_y = \frac{\varphi(x_0, y_0 + \Delta y) - \varphi(x_0, y_0)}{\Delta y}.$$

4. Вычисляем новую точку  $(x^1, y^1)$ :

$$x^1 = x_0 + \Delta s \cdot \frac{E_x}{\sqrt{E_x^2 + E_y^2}},$$

$$y^1 = y_0 + \Delta s \cdot \frac{E_y}{\sqrt{E_x^2 + E_y^2}},$$

$$\Delta s = \sqrt{\Delta x^2 + \Delta y^2}.$$

5. Повторяем шаги 3) и 4) АЛГОРИТМА I (заменяя нижние индексы  $x$  и  $y$  на верхние соответственно).

В заключение приведём текст программы на языке MSX Basic, реализующий алгоритм построения эквипотенциальных линий.

```

30 PRINT"                               Использована система СГС."
40 PRINT"       Введите заряды Qi, i=1,2; пределы: 1 < [Qi] < 5 (ед. СГС)."
50 PRINT"       Введите шаг потенциала H, пределы: H=1,2,...,10 (0.1 ед. СГС)."
60 DIM A(250),V(3): INPUT Q1,Q2: INPUT H: H=H/10
70 IF ABS(Q1)>ABS(Q2) THEN C=2*INT(ABS(Q1)+.5) ELSE C=2*INT(ABS(Q2)+.5)
80 D=-C
90 FOR I=0 TO 250
100 IF D<=C THEN A(I)=D:K=I:D=D+H ELSE A(I)=100
110 NEXT I
120 E%=1
130 COLOR 15,1,4
140 SCREEN 7:OPEN "GRP:"AS#1
150 PSET(20,50):PRINT#1,"ЭКВИПОТЕНЦИАЛЬНЫЕ ЛИНИИ."
160 PSET(16,70):PRINT#1,"Использована система СГС."
170 PSET(4,80):PRINT#1,"Экран->X:Y=250:180=12.5см:9см."
180 PSET(4,90):PRINT#1,"Между зарядами -> 6.25см."
190 PSET(15,100):PRINT#1,"Q1=":PSET(40,100):PRINT#1,Q1
200 PSET(65,100):PRINT#1,"      ; Q2=":PSET(172,100):PRINT#1,Q2
210 PSET(4,110):PRINT#1,"Шаг потенциала H   =":PSET(180,110):PRINT#1,H
220 PSET(4,120):PRINT#1,"Линия потенциала max->":PSET(180,120):PRINT#1,C
230 LINE(20,140)-(220,170),15,B
240 LINE(240,1)-(510,192),2,BF:LINE(250,5)-(500,186),0,BF
250 FOR J=0 TO 89:I=-123
260 V(0)=(Q1/SQR((I+62.5)^2+(J-.5)^2/20))+Q2/(SQR((I-63.5)^2+(J-.5)^2/20))
270 V(1)=(Q1/SQR((I+62.5)^2+(J+.5)^2/20))+Q2/(SQR((I-63.5)^2+(J+.5)^2/20))
280 FOR I=-123 TO 123
290 V(2)=(Q1/SQR((I+63.5)^2+(J+.5)^2/20))+Q2/(SQR((I-62.5)^2+(J+.5)^2/20))
300 V(3)=(Q1/SQR((I+63.5)^2+(J-.5)^2/20))+Q2/(SQR((I-62.5)^2+(J-.5)^2/20))
310 AX=V(0):AN=V(0)
320 FOR M=1 TO 3
330 IF V(M)>AX THEN AX=V(M)
340 IF V(M)<AN THEN AN=V(M)
350 NEXT M
360 FOR L=0 TO K
370 IF (A(L)>AN AND A(L)<AX) THEN PSET(375+I,96+J),2:PSET(375+I,96-J),2:GOTO 390
380 PSET(375+I,96+J),0:PSET(375+I,96-J),0
390 V(1)=V(2):V(0)=V(3)
400 NEXT I
410 PSET(45,155):PRINT#1,"Программа работает"
420 NEXT J
430 Q=Q1:A=312:I=1:GOTO 450
440 Q=Q2:A=438:I=2:GOTO 450
450 CIRCLE(A,96),5,15:LINE(A-2,96)-(A+2,96),15
460 IF Q>0 THEN LINE (A,94)-(A,98),15
470 ON I GOTO 440,480
480 FOR I=1 TO 20*E%
490 PSET(45,155):PRINT#1,"Работа закончена"
500 FOR J=1 TO 50
510 B=6.67*6.78^3
520 NEXT J
530 NEXT I
540 SCREEN0:COLOR 15,1,1
550 PRINT"Выйти?-Да"
560 PRINT"Увеличить время подсветки?-N": INPUT L$

```

```
580 INPUT E%
590 IF L$<>"Да" THEN 130
600 END
```

## Литература

1. *Новодворская Е.М., Дмитриев Э.М.* Методика проведения упражнений по физике во ВТУЗе. - М.: Высшая школа, 1981.
2. *Гольдфарб Н.И.* Сборник вопросов и задач по физике. - М.: Высшая школа, 1993.
3. *Сена Л.А.* Сборник вопросов и задач по физике. - М.: Высшая школа, 1986.
4. *Коган Б. Ю.* Сто задач по электричеству. - М.: Наука, 1976.
5. *Говорков В. А.* Электрические и магнитные поля. - М.: Энергия, 1968.
6. *Орир Дж.* Физика. - М.: Мир, 1981, стр.236.
7. *Иоффе А.Ф.* Курс физики. Т.1. - М.: Гос. издательство технико-теоретической литературы, 1940, стр.210.
8. *Тарасов Л.В., Тарасова А.Н.* Вопросы и задачи по физике. - М.: Высшая школа, 1984, стр.172.
9. Берклевский курс физики. Т. 2: Парселл Э. Электричество и магнетизм. - М.: Наука, 1975, стр.36.
10. *Путилов К. Д.* Курс физики. Т. 2. - М.: Гос. издательство технико-теоретической литературы, 1956, стр.22.
11. *Рязанов Г.А.* опыты и моделирование при изучении электромагнитного поля. - М.: Наука, 1966, стр.118.
12. *Батыгин В.В., Топтыгин И.Н.* Сборник задач по электродинамике. - М.: Наука, 1970.
13. *Тамм Е.И.* Основы теории электричества. - М.: Наука, 1976, стр.55, стр. 95.
14. *Сивухин Д.В.* Общий курс физики. Т.III. Электричество. - М.: Наука, 1977.
15. *Гулд Х., Тобочник Я.* Компьютерное моделирование в физике: В 2-х частях. Часть 1. - М.: Мир, 1990.
16. *Бурсиан Э.В.* Задачи по физике для компьютера. - М.: Просвещение, 1991.
17. *Жаблон К., Симон Ж.-К.* Применение ЭВМ для численного моделирования в физике. - М.: Наука, 1983.
18. *Матвеев А.Н.* ЭВМ в курсе общей физики. - М.: МГУ, 1992.
19. *Кондратьев А.С.* Применение персонального MSX-компьютера в школьном курсе физики. - Л.: ЛГПИ, 1988.

## On one problem of electrostatics

I.N.Zhukova, V.B.Tlyachev

The authors study the field of the system of fixed point charges, dwelling upon a range of possible errors while analyzing and describing these fields. A solution of the problem of tracing power lines of electrostatic fields is given with algorithms for their numeric modeling.